

جداسازی سلول‌های اندوتلیال بند ناف انسان و طراحی مدل رگزایی آن در ماتریکس فیبرینی

کامران منصوری^{*}، دکتر عباس شیخ‌الاسلامی^{**}، دکتر غلامرضا بهرامی^{***}، دکتر علی مصطفایی^{****}

نویسنده‌ی مسئول: کرمانشاه، مرکز تحقیقات بیولوژی دانشگاه علوم پزشکی کرمانشاه amostafaie@kums.ac.ir

پذیرش: ۸۵/۹/۲۰ دریافت: ۸۴/۱۰/۲۴

چکیده

زمینه و هدف: آنژیوژنز نقش بسیار مهمی در پایه‌های فیزیولوژیک و پاتولوژیک دارد. بررسی و ارزیابی رشد سلول‌های اندوتلیال و در نهایت تشکیل رگ‌های جدید در شرایط آزمایشگاه با مشکلات و پیچیدگی‌های زیادی همراه است. به منظور غلبه بر این مشکل، در این مطالعه با استفاده از سلول‌های اندوتلیال طبیعی بند ناف انسان یک سیستم رگزایی قابل کنترل با قابلیت تکرارپذیری بالا در شرایط آزمایشگاه طراحی شد. این مدل برای مطالعه‌ی پارامترهای متفاوتی که در فرآیند رگزایی یا مهار آن دخالت دارند، قابل استفاده است.

روش بررسی: در این مدل از گروچه‌های پوشیده از سلول‌های اندوتلیال جدا شده از بند ناف انسان به عنوان منشأ سلول‌های اندوتلیال استفاده شده و ساختمن سه بعدی لازم برای رشد سلول‌های اندوتلیال و ایجاد رگ توسط ذرات سیتوودکس پوشیده از کلائز و ژل فیبرین تأمین گردید.

یافته‌ها: در این روش، ۱۰ تا ۱۲ روز بعد از کشت سلول‌های اندوتلیال بند ناف انسانی، رشد و مهاجرت سلول‌ها و در نتیجه تشکیل مویرگ‌ها در میان میکروسکوپی به صورت انشعاب‌هایی از سلول‌های اندوتلیال منشأ، دیده شد.

نتیجه‌گیری: به وسیله‌ی این مدل که مدلی قابل کنترل با تکرارپذیری بالا است، می‌توان اثر مواد ممانعت‌کننده و القا کننده‌ی رگزایی را مورد بررسی و مطالعه قرار داد. به عبارت دیگر، این مدل روشی بسیار مناسب جهت غربالگری مواد آنژیوژنیک و آنتی آنژیوژنیک در اختیار قرار می‌دهد.

واژگان کلیدی: رگزایی، سلول اندوتلیال، بند ناف

مقدمه

تنظیم شده و نتیجه‌ی آن سازماندهی شبکه‌ی مویرگی است. هنگامی که تحريكات آنژیوژنیک متوقف می‌شود، این سلول‌ها شکلی غیر تهاجمی یافته و به حالت پایدار باز می‌گردند. آنژیوژنز نقش بسیار مهمی در پایده‌های فیزیولوژیکی نظیر رشد جنین و ترمیم بافت و پایده‌های پاتولوژیکی نظیر رینوپاتی دیابتی، آرتربیت، رشد توده‌ی سلطانی و متاستاز ایفا می‌کند (۱-۴).

در حقیقت رشد توده‌های سلطانی، وابسته به تشکیل

شبکه‌ی قلبی-عروقی اولین سیستمی است که در مرحله‌ی گاسترولای جنینی تکامل می‌یابد. سازماندهی اویله‌ی سلول‌های اندوتلیال که منجر به ایجاد عروق می‌گردد، واصلکلوزن خوانده می‌شود. آنژیوژنز نیز رشد و تکامل عروق جدید از طریق جوانه زدن سلول‌های اندوتلیال عروق موجود می‌باشد (۱). تهاجم موضعی بافت که به وسیله‌ی سلول‌های اندوتلیال در طی فرآیند تشکیل عروق اتفاق می‌افتد، به وسیله‌ی عوامل داخل سلولی و استرومما

* کارشناس ارشد هماتولوژی، مرکز تحقیقات بیولوژی پزشکی، مری دانشگاه علوم پزشکی کرمانشاه

** دکترای داروسازی، مرکز تحقیقات بیولوژی پزشکی، مری دانشگاه علوم پزشکی کرمانشاه

*** دکترای تخصصی فارماکولوژی، مرکز تحقیقات بیولوژی پزشکی، دانشیار دانشگاه علوم پزشکی کرمانشاه

**** دکترای تخصصی ایمونولوژی، مرکز تحقیقات بیولوژی پزشکی، دانشیار دانشگاه علوم پزشکی کرمانشاه

به طور مؤثری در لیز لخته‌ی فیبرین که در آن سلول‌های اندوتیال قرار گرفته، نقش دارد. پلاسمین تولید شده در سطح سلول، پروتئین‌های ماتریکس (Pro urokinase Plasminogen Activator) Pro-uPA (Single chain urokinase Plasminogen Activator) Scu-PA را که توسط سلول ترشح می‌شوند، علاوه بر فعال کردن به (two chain urokinase Plasminogen Activator) u-PA یا tcu-PA تبدیل می‌کند. با توجه به این که گیرنده‌های پلاسمینوژن و اوروکیناز در سطح سلول وجود دارند، آنزیم تولید شده در این سیستم از اثر خشی کنندگی مهارکننده‌های فیزیولوژیکی در امان می‌ماند. در این مطالعه‌ی تجربی که در سال ۱۳۸۴ در مرکز تحقیقات بیولوژی پزشکی دانشگاه علوم پزشکی کرمانشاه انجام گرفت، سلول‌های عروق بند ناف طبیعی با کمک آنزیم درشاریط بهینه از نظر زمان اثر و غلظت آنزیم جدا گردید و با استفاده از این سلول‌ها یک مدل رگزایی در ماتریکس سه بعدی فیبرین طراحی شد. این مدل اجازه می‌دهد که پاسخ‌های رگزایی سلول‌های اندوتیال به صورت کمی و کیفی در ماتریکس سه بعدی بررسی شود. این مدل هم چنین مدلی مناسب جهت غربالگری مواد آنتیوژنیک و آنتی آنتیوژنیک است. برای مثال می‌توان با استفاده از آن اثر مواد حاصل از گیاهان دارویی در رگزایی یا مهار آن را بررسی نمود. این مدل که ظاهرآ برای اولین بار در کشور با استفاده از سلول‌های اندوتیال برگرفته از بند ناف انسانی طراحی شده، می‌تواند زمینه‌ساز تحقیقات متعدد در زمینه‌ی مکانیسم‌های رگزایی و عوامل تقویت‌کننده و مهار کننده‌ی آن باشد.

روش بررسی

در این مطالعه‌ی تجربی، از فیبرینوژن انسانی (سیگما)، ترومیین (استاگو)، اتیلن دی آمین تتراء استیک-اکسید (Ethylen Diamine Tetra Acetic Acid [EDTA]) تریپسین (سیگما)، کلائزناز نوع ۴ (سیگما)، محیط کشت M/90 (سیگما)، DMEM (سیگما)، محیط کشت FBS (سیگما)، آپروتینین (باير)، سرم جنین گوساله (FBS)

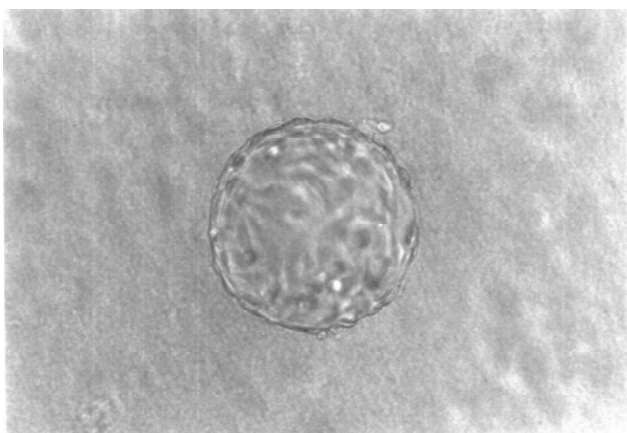
رگ‌های جدیدی است که از طریق آن تغذیه واکسیژن رسانی این توده‌ها تأمین می‌گردد (۶، ۵). ادامه‌ی رشد نئوپلاسم اولیه و متاستاز بستگی به خون رسانی کافی به آن منطقه دارد. فرآیند تشکیل عروق جدید یعنی رگزایی به تومورها این اجازه را می‌دهد که بیشتر از ۱ تا ۲ میلی‌متر مکعب توسعه یابند (۷). برخلاف تومورهای خوش‌خیم که آنتیوژن‌کمی دارند و سرعت رشد آنها کند است، تومورهای بدخیم معمولاً دارای عروق زیاد هستند و رشدشان سریع است. در بافت‌های طبیعی و بافت‌های با رشد سریع، به ترتیب، فاکتورهای ممانع کننده و تحریک‌کننده‌ی رگزایی غالب هستند (۸، ۹). محرک‌های رگزایی متعددی مانند فاکتور رشد اندوتیال عروقی (Vascular Endothelial Growth Factor [VEGF]) یا فاکتور رشد فیربولاستی (FGF) (Fibroblast Growth Factor) شناسایی شده‌اند که بسیاری از آنها توسعه انسانی سلول‌های توموری ترشح می‌شوند و نقش بسیار مهمی در رگزایی و متاستاز تومور دارند (۱۰، ۱۱). جهت بررسی عوامل مختلف آنتیوژنیک و آنتی آنتیوژنیک مدل‌های رگزایی متعددی وجود دارد که عبارتند از: مدل اندازه‌گیری غشاء کوریوآلانتوئیک (Chicken Chorioallantoic Membrane [CAM]) عروق جدید در قرنیه، مدل pouch assay، روش کیسه‌ی هوایی، روش اندازه‌گیری پنجره‌ی مزانتریک، روش اندازه‌گیری در محیط سه بعدی ژل، مدل حلقه‌ی آئورت موس صحرایی و مدل آمنیون انسانی (۱۲). سیستم فیربینولیتیک شامل فرآیندهای پلاسمینوژن غیر فعال تحت تأثیر فعال کننده‌ی پلاسمینوژن به آنزیم فعال یعنی پلاسمین تبدیل می‌شود. فعال کننده‌های پلاسمینوژن، سرین پروتئازهایی هستند که از نظر ایمونولوژیکی به دو نوع t-PA (tissue Plasminogen Activator) u-PA (urokinase Plasminogen Activator) تقسیم می‌شوند. t-PA تمایل خیلی زیادی به ژل فیبرین دارد و توسط سلول‌های اندوتیال ساخته و ترشح می‌شود و

غلظت مناسب فیبرینوژن به طوری که بتواند لخته‌ی مناسب و محکم فیبرین تشکیل دهد و ۱۰ تا ۱۲ روز پایدار باشد، پس از بارها تجربه به دست آمد. سپس فیبرینوژن در غلظت مناسب در PBS حل و یک شب مقابل محیط DMEM دیالیز شد. سلول‌های اندوتیال جدا شده از سیاهرگ بند ناف برای طراحی مدل رگزایی و تعیین شرایط آن در فلاسک‌های ۵۰ میلی‌متری کشت سلولی کشت داده شد. پس از آن‌که سلول‌ها سطح فلاسک را پوشاندند، با استفاده از EDTA - تریپسین ۲/۵ درصد، این سلول‌ها به صورت سوسپانسیون درآمدند و میزان زنده بودن آن‌ها توسط تریپان-بلو بررسی شد (که میزان زنده بودن بیش از ۹۰ درصد بود). سپس به منظور گردشماهی سلول‌ها در یک نقطه، از ذرات حامل Cytodex-3-micro carriers بدلین ترتیب که سلول‌ها به ذرات Cytodex-3-micro carriers پوشیده از کلژن اضافه شده و مدت ۲۴ ساعت در دمای ۳۷ درجه‌ی سانتیگراد و دی‌اکسید کربن ۵ درصد انکوبه گردیدند. پس از کنترل چسبیدن سلول‌ها به ذرات حامل که با میکروسکوپ بررسی شد، ذرات پوشیده از سلول با محلول فیبرینوژن با غلظت ۴ میلی‌گرم در میلی‌لیتر محلوط و به آن ترومیین با غلظت ۳ واحد بین المللی در میلی‌لیتر اضافه شد. محلوط حاصل بالاچاله در ماکروپلیت کشت سلول تقسیم شد. بعد از تشکیل ژل فیبرین مقدار ۲ میلی‌لیتر محیط کشت کامل (DMEM ، FBS ۲۰ درصد) به هر چاهک اضافه گردید. مقدار ۳۰۰ واحد بین المللی در میلی‌لیتر آپروتینین (Trasylol) به محیط کشت رویی و ژل فیبرین اضافه شد. پس از ۱۰ تا ۱۲ روز قراردادن پلیت‌ها در دمای ۳۷ درجه‌ی سانتیگراد و دی‌اکسید کربن ۵ درصد، فرآیند رگزایی بررسی شد.

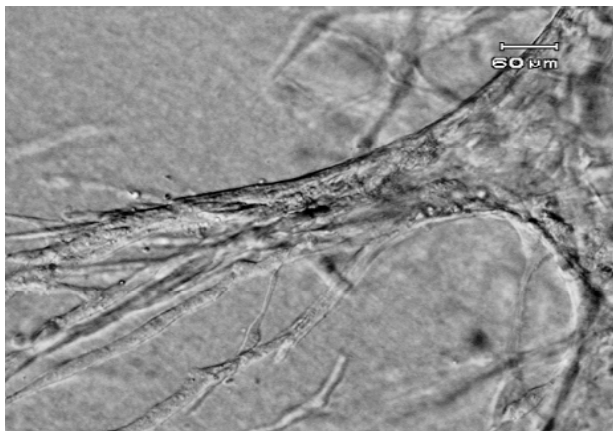
یافته‌ها

پس از جداسازی و به دست آوردن سلول‌های اندوتیال سیاهرگ بند ناف (شکل ۱)، غلظت بهینه‌ی فیبرینوژن جهت ایجاد ماتریکس مناسب تعیین شد. در این مدل غلظت مناسب

(گیکو)، ذرات سیتودکس-۳-میکروکریزر (Cytodex- 3- micro carriers) استفاده گردید. سلول‌های بندناف نوزاد انسان از اطاق عمل بیمارستان شهدای کرمانشاه در بافر فسفات نمکی (PBS) که حاوی ۱۰۰ واحد بین المللی [IU] در میلی‌لیتر پنی‌سیلین و ۱۰۰ میکروگرم در میلی‌لیتر استریپتومایسین بود، در شرایط استریل جمع‌آوری شد. قسمت‌های آسیب دیده بند ناف جدا گردید. با آنزیوکت شماره‌ی ۲۱، میزان ۵۰ تا ۱۰۰ میلی‌لیتر محیط DMEM به داخل سیاهرگ بندناف تزریق گردید تا بند ناف کاملاً از خون و ژل وارتون تمیز گردد. بعد از شستشوی بند ناف، قسمت انتهایی آن کلامپ زده شده و مقدار ۱۰ تا ۱۵ میلی‌لیتر کلژن‌ناز با غلظت ۰/۲ درصد اضافه شد و ۲۰ دقیقه در دمای ۳۷ درجه‌ی سانتی‌گراد قرار گرفت. کلامپ انتهایی باز گردید و محلول حاوی کلژن‌ناز و سلول‌ها جمع‌آوری شد. ۱۰ میلی‌لیتر محیط DMEM حاوی ۲۰ FBS درصد به آن اضافه شد. محلوط فوق ۵ دقیقه با شتاب جاذبه‌ی (g) ۵۰۰ سانتریفوژ گردید. محلول رویی دور ریخته شد و رسوب سلولی در ۵ میلی‌لیتر محیط DMEM حاوی ۲۰ FBS درصد، ۱۰۰ واحد بین المللی در میلی‌گرم پنی‌سیلین و ۱۰۰ میکروگرم در میلی‌لیتر استریپتومایسین به تعلیق درآمد. تعلیق سلولی در ظرف کشت سلولی ریخته شد و در دمای ۳۷ درجه‌ی سانتی‌گراد و دی‌اکسید کربن ۵ درصد به مدت ۲۴ ساعت انکوبه گردید. سلول‌ها جمع‌آوری و پس از چند بار شستشو، در فلاسک کشت سلولی حاوی محیط M131 هپارین و ۲۰ FBS درصد ریخته شد و در دمای ۳۷ درجه‌ی سانتیگراد و دی‌اکسید کربن ۵ درصد به مدت ۴ روز انکوبه گردید تا ظرف کشت سلولی پر شود. جهت آماده‌سازی ذرات حامل، ذرات Cytodex-3-micro carriers به مدت ۱۰ ساعت در PBS قرار گرفتند تا متورم شدند. ذرات متورم شده ۱۵ دقیقه در فشار ۱۵ تا ۲۰ پوند بر اینچ مربع اتوکلاو گردیدند. سپس در زیر هود استریل بافر فسفات تخلیه و به جای آن محیط DMEM حاوی ۲۰ FBS درصد اضافه شد.



شکل ۲: ذرات حامل سیتودکس به همراه سلول‌های اندوتیال در لخته‌ی فیرین (با بزرگنمایی ۲۵۰)

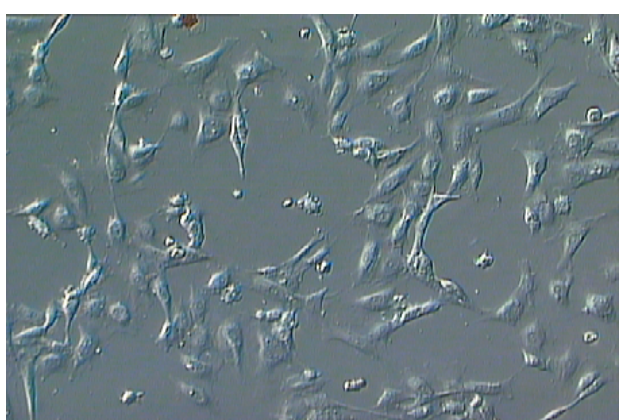


شکل ۳: فرآیند رگزایی در روز دوازدهم بعد از کشت سلول‌ها روی ذرات حامل سیتودکس (با بزرگنمایی ۴۰۰)

بحث

مدل‌های رگزایی عمدتاً وقت‌گیر و گران قیمت هستند. بعضی از آن‌ها نیاز به رده‌ی سلولی خاصی دارند که ممکن است به راحتی در دسترس نباشد و حمل آن‌ها از مرکز تولید به آزمایشگاه مشکل و وقت‌گیر باشد. علاوه‌اگر مدل‌های رگزایی نیاز به یک القاء کننده به صورت مصنوعی دارند و از تکنیک بسیار سخت و پیچیده‌ای برخوردار هستند (۱۲). به منظور غلبه بر این مشکلات، در این مطالعه یک مدل رگزایی سه بعدی توسط سلول‌های اندوتیال برگرفته از بند ناف انسانی طراحی شد. مزایای این مدل نسبت به مدل‌های ذکر شده و مدل‌های اولیه این است که از قابلیت تکرارپذیری بالایی برخوردار است و با توجه به نوع سلول به کار برد شده و ماتریکس سه بعدی فیرین، شرایط

فیرینوژن به منظور ایجاد ماتریکس مناسب، ۴ میلی‌گرم در هر میلی‌متر بود. مرحله‌ی بعد شامل به دست آوردن ضخامت ژل فیرین بود. میزان ضخامت ژل فیرین باید به گونه‌ای باشد که سلول‌ها قادر به تخریب و مهاجرت در داخل آن باشند و ۱۰ تا ۱۲ روز این ماتریکس به خوبی پایدار بماند. بدین ترتیب ضخامت مناسب ژل در این مدل طوری به دست آمد که مقدار ۵۰۰ میکرولیتر محلول فیرینوژن به هر چاهک اضافه شود. در مرحله‌ی بعد نسبت مناسب سلول‌ها به ذرات حامل تعیین گردید. مشخص شد که نسبت ۴۰ به ۱ نسبت مناسبی است. در آزمون بعدی، غلظت مناسب ترومیین تعیین شد، به طوری که ذرات حامل پوشیده شده و سلول‌ها بعد از اضافه کردن ترومیین به سرعت در ژل گیرکرده و محیط اطراف آن‌ها را ژل فیرین احاطه نماید. در این مدل غلظت مناسب ترومیین با توجه به غلظت فیرینوژن، ۳ واحد بین‌المللی در میلی‌لیتر تعیین شد. چون سلول‌ها دارای فعالیت فیرینوژنیک نیز هستند به محیط کشت رویی و محلول فیرینوژن مقدار ۳۰۰ واحد بین‌المللی در میلی‌لیتر آپروتنین اضافه شد. پس از انجام این مراحل پلیت کشت سلولی به مدت ۱۰ تا ۱۲ روز در دمای ۳۷ درجه و دی‌اکسیدکربن ۵ درصد انکوبه شد. در روزهای نخستین انکوباسیون، سلول‌های متصل به ذرات حامل شروع به تکثیر و جوانه زدن نمودند به گونه‌ای که در روزهای ۱۰ تا ۱۲ فرآیند رگزایی به طور کامل و به صورت شعاعی مشاهده گردید (اشکال ۲، ۳).



شکل ۱: سلول‌های اندوتیال جدا شده از بند ناف در محیط کشت سلول (با بزرگنمایی ۱۰۰)

به عنوان یک ماتریکس سه بعدی استفاده گردید. فیرین حاصل، بستر لازم را برای رشد و مهاجرت سلول‌های اندوتیال در دسترس قرار می‌دهد. حرکت سلول‌های اندوتیال که به وسیلهٔ ماتریکس خارج سلولی (فیرین تشکیل شده) تنظیم می‌گردد، نیازمند تشکیل کمپلکس سلول-ماتریکس با واسطهٔ ایتگرین و بعد جدا شدن آن می‌باشد. چرخهٔ تکراری اتصال برگشت‌پذیر ایتگرین/ماتریکس و به دنبال آن جدا شدن عناصر اسکلت سلولی به همراه تجزیهٔ محدود ماتریکس باعث پیشروی حاشیهٔ سلول متحرک می‌شود. بنابراین حرکت سلولی، حاصل هماهنگی کمپلکس‌های فعال مولکولی مثل واکنش ایتگرین ولیگاندی ایتگرین با متالوپروتئاز، فعال‌کنندهٔ پلاسمینوژن و سوبسترای آن و هم‌چنین مهار کننده‌های سلول-ماتریکس می‌باشد (۱۶-۱۴).

نتیجهٔ گیری

با توجه به ۴ مرحلهٔ بیولوژیکی آنژیوژنر یعنی تجزیهٔ غشای پایهٔ توسط سلول‌های اندوتیال، مهاجرت سلول‌های اندوتیال با هضم فیرین، تکثیر سلول‌های اندوتیال و تشکیل ساختمان لوله‌ای جدید و از آن جایی که فعالیت فیرینولیتیک و پرتوولیتیک اطراف سلولی جهت پیشرفت دو مرحلهٔ ابتدایی رگزایی ضروری است (۲۱-۲۷)، در این مدل فعالیت فیرینولیتیک و پرتوولیتیک لازم جهت رگزایی توسط غلظت فیرینوژن و تعیین ضخامت ماتریکس فیرین به کار رفته و آپروتنین کنترل گردید. به هر حال مدل آنژیوژنر طراحی شده در این تحقیق شرایط مناسبی جهت مطالعه و بررسی عوامل مؤثر در رگزایی و مکانیسم عمل آن فراهم می‌آورد و زمینه‌ساز مطالعات بعدی در این عرصهٔ مهم خواهد بود.

مطالعهٔ رگزایی بسیار شبیه به مطالعهٔ رگزایی در داخل بدن است. هم‌چنین در این مدل در شروع کار نیاز به القا کنندهٔ رگزایی به صورت مصنوعی نیست. تفاوت این مدل با مدل مشابه دیگر که توسط منصوری و همکاران طراحی شد (۱۳)، در این است که سلول مورد استفاده، سلول‌های طبیعی اندوتیال برگرفته از بند ناف انسانی است و ردهٔ سلولی نمی‌باشد. به علت این که هر سلول برگرفته از بخش‌های مختلف بدن، فعالیت فیرینولیتیک و آنژیوژنریک خاص خود را دارد، بنابراین شرایط مطالعهٔ رگزایی از نظر کنترل فعالیت سیستم فیرینولیتیک، میزان فیرینوژن، ضخامت ماتریکس فیرین، تعداد سلول‌های مورد نیاز که سطح ذرات حامل را کاملاً پوشانند و دیگر شرایط کشت جهت این سلول باید به دست آید.

این مدل مطالعاتی، به ما این اجازه را می‌دهد که پاسخ‌های سلول‌های اندوتیال برگرفته از بند ناف انسانی را در ماتریکس سه بعدی فیرین مورد مطالعه قرار دهیم. با استفاده از این روش می‌توان واکنش سلول‌های مختلف نسبت به هم و یا نقش آنها را در رگزایی به تنهایی و یا همراه با هم مورد بررسی و مطالعه قرار داد. از سوی دیگر تشکیل فیرین نخستین پدیده‌ای است که در اثر فعال شدن سیستم انقادی خون در اطراف تومورهای توپر و آسیب‌های بافتی مانند زخم رخ می‌دهد. در حقیقت انتقال فیرینوژن محلول از پلاسمای فضای خارج رگی و تبدیل آن به فیرین نامحلول، سطحی را در دسترس قرار می‌دهد که در فرآیند رگزایی به عنوان یک ماتریکس موقتی عمل می‌کند. در شرایط فیزیولوژیک سلول‌های اندوتیال پوشش دهندهٔ جدار داخلی رگ‌ها یا مویرگ‌ها منشأ سلول‌های اندوتیال در فرآیند آنژیوژنر را تشکیل می‌دهند. بر اساس این واقعیت، در مدل پیشنهادی از فیرینوژن خالص شده و تبدیل آن به فیرین نامحلول

منابع

- 1- Ausprunk D.H, Folkman J. Migration and proliferation of endothelial cells in performed and newly formed blood vessels during tumor angiogenesis. *Microvasc Res.* 1997; 14: 53- 65.

- 2- Folkman J. Clinical applications of research on angiogenesis. *N Engl J Med.* 1995; 333: 1757- 63.
- 3- Grant D.S, Kibbey M.C, Kinsella J.L, Sid M.C. The role of basement membrane in angiogenesis and tumor growth. *Pathol Res Prac.* 1994; 190: 854- 63.
- 4- Szpaderska M, J.R. Anderson J.M, Kocher O, Van Itallie E.M , Madri J.A. Distinct patterns of angiogenesis in oral and skin wounds. *J Dent Res.* 2005; 84: 309-14.
- 5- Blood C.H, Zetter B.R. Tumor interactions with the vasculature: angiogenesis and tumor metastasis. *Biochem Biophys Acta.* 1990; 1032: 89- 118.
- 6- Folkman J, Watson K, Ingber D , Hanhan D. Induction of angiogenesis during the transition from hyperplasia to neoplasm. *Nature.* 1989; 339: 58- 61.
- 7- Ellis I.M, Bauer T, Brown L.F, Mc Donagh J. Angiogenesis and metastasis. *Eur J Cancer.* 1996; 32A: 2451- 60.
- 8- Beck J, Damore P.A. Vascular development , cellular and molecular regulation . *FASEB J.* 1997; 11: 365-73.
- 9- Boedefeld W.M. Recent insights into angiogenesis, apoptosis, invasion and metastasis. *Ann Surg Oncol.* 2003; 10: 839- 51.
- 10- Risau W. Mechanism of angiogenesis. *Nature.* 1997; 386: 671- 4.
- 11- Auerbach R. Angiogenesis-inducing factors: A review. *Lymphokines.* 1981; 4: 64- 88.
- 12- Gillian W.C. Angiogenesis: Models and modulators. *Int Rev Cytol.* 1995; 159: 113- 59.
- ۱۳- منصوری کامران ، میرشاهی متوجهر ، پورفتح الله علی اکبر ، محمد حسن زهیر. طراحی یک مدل آزمایشگاهی رگزایی در ماتریکس سه بعدی فیبرین برای مطالعه‌ی عوامل مؤثر در رگ زایی. *مجله بهبود*؛ ۱۳۸۴؛ سال ۹، شماره ۳: صفحات ۳۶-۲۷.
- 14- Bussoduo F, Mautovani A, Persico G. Molecular mechanism of blood vessel formation. *Trends Biochem Sci.* 1997; 22: 251- 6.
- 15- Cines D.B. Endothelial cells in physiology and in pathophysiology of vascular disorder. *Blood.* 1998; 91(10): 3527- 61.
- 16- Dvorak H.F, Harvey V.S, Estrella P, Brown L.F, Dvorak A.M. Fibrin containing gels induce angiogenesis. Implications for tumor stroma generation and wound healing. *Lab Invest.* 1987; 57: 673- 86.
- 17- Peper M.S. Role of the matrix metalloproteinase and plasminogen activator-plasmin systems in Angiogenesis. *Arterioscler Thromb Vasc Biol.* 2001; 21: 1104.
- 18- Giavazzi R, Albini A, Bussolino F. The biological basis for antiangiogenic therapy. *Euro J Cancer.* 2000; 36: 1913-18.
- 19- Saksela O, Bonfanti R, Fuire B, Wagner D.D. Associated plasminogen activation: regulation and physiological Function. *Ann Rev Cell Biol.* 1988; 4: 93-126.
- 20-Chang W, Park S.H, Ross B.D. Membrane-type matrix metalloproteinase. Mediated angiogenesis in a fibrin-collagen matrix. *Blood.* 2003; 101 (S): 1810- 17.
- 21- Kristensen P, Bugge T.H, Suh T.T, Flick M.J. Urokinase-type plasminogen activator and its receptor: new target or anti-metastatic therapy. *Trends Pharmacol Sci.* 1994; 15: 25- 9.